

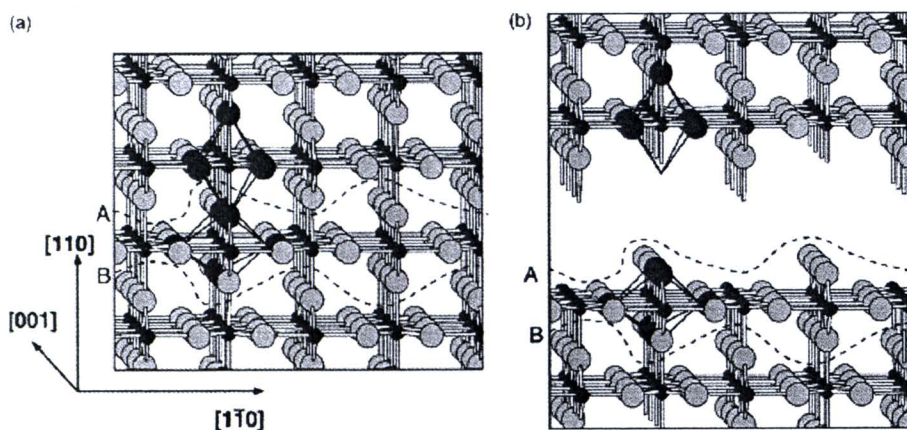
บทที่ 3

การดำเนินการวิจัย

3.1 การคำนวณและสร้างแบบจำลอง

การคำนวณทั้งหมดในการทดลองนี้ทำโดยใช้โปรแกรม Gaussian03 โดยมีรายละเอียดดังนี้

- โครงสร้างของ TiO_2 ที่ใช้เป็นแบบจำลองคือโครงสร้าง stoichiometric ของสัมฐานแบบรูไทล์ ด้วยพื้นผิวแบบ (1×1) ดังแสดงในรูปที่ 3.1 ระยะห่างและมุมระหว่างอะตอมที่ใช้ในการจำลองมาจากผลที่คำนวณได้จากเทคนิค x-ray ดังปรากฏในตารางที่ 3.1 การคุณประจุรวมของแบบจำลองให้เป็นกลางทำโดยการเติมอะตอมไฮโดรเจนเข้าไปในโครงสร้างเพื่อให้ได้สูตรเคมีของแบบจำลองเป็น $\text{Ti}_n\text{O}_m\text{H}_{(m-2n)}$ โครงสร้างของ TiO_2 ที่ได้นี้จะถูกกำหนดให้อยู่ที่ตำแหน่งคงที่ในทุกรูป



รูปที่ 3.1 (a) แบบจำลองโครงสร้างสัมฐานรูไทล์ของ TiO_2 ลูกบลอกขนาดเล็กสีดำและขนาดใหญ่สีขาวแทน Ti และ O อะตอมตามลำดับ (b) โครงสร้างของพื้นผิวแบบ (1×1) ตามแนวเส้น A [19].

- วิธีหลักที่ใช้ในการคำนวณคือวิธี Density Functional Theory (DFT) โดยให้ basis set แบบ LANL2DZ [21-24]
- นิยามของค่าพลังงานคุดซับ (Adsorption energy) คือ

$$E_{\text{ads}} = E_{\text{model}} - (E_{\text{sub}} + E_{\text{adv}}) \quad (3.1)$$



สำนักงานคณะกรรมการวิจัยแห่งชาติ
ห้องสมุดงานวิจัย
วันที่..... 17 กค. 2558
เลขทะเบียน..... 248993
ลงชื่อ.....

เมื่อ E_{sub} คือ ค่าพลังงาน (Single point energy) ของโครงสร้างฐานที่ใช้ในการคัดซับ (Substrate) E_{adb} คือ ค่าพลังงานของสารที่ถูกคัดซับ (Adsorbate) และ E_{model} คือค่าพลังงานของแบบจำลองทั้งหมด

ตารางที่ 3.1 ระยะห่างระหว่างอะตอม (\AA) และมุมพันธะ (deg) ของโครงสร้าง rutile TiO_2 [20]

ชนิดของพันธะ	จำนวนพันธะต่อ Ti 1 อะตอม	ระยะห่างหรือมุมพันธะ
Ti-O	4	1.9486
Ti-O'	2	1.9796
O-Ti-O	2	98.79
O-Ti-O	2	81.21
O-Ti-O	2	180.00
O-Ti-O'	4	90.00
O-Ti-O'	4	90.00
O'-Ti-O'	1	180.00
Ti-O-Ti	2	130.60
Ti-O-Ti	1	98.79

การแบ่งโครงสร้างฐานและสารที่ถูกคัดซับทำโดยการตัดแบบจำลองที่ระบบนาโนที่ตั้งจากกันพันธะที่สนใจ ซึ่งจากความสัมพันธ์ข้างต้น ค่าพลังงานการคัดซับก็คือพลังงานที่ระบบคุดเข้าไปเพื่อใช้ในการสร้างปฏิกิริยาพันธ์ต่อกันนั่นเอง

การสร้างแบบจำลองทำโดยการใช้โปรแกรม Excel โดยมีกระบวนการดังต่อไปนี้

1. ร่างแบบจำลองบนกระดาษพร้อมด้วยการทำเครื่องหมายบนทุกอะตอม
2. เขียนไฟล์ input บนโปรแกรม excel ในรูปแบบของ Z-matrix
3. ตรวจสอบและแก้ไขความถูกต้องของแบบจำลองโดยการเปลี่ยนไฟล์ input ให้อยู่ในรูปแบบ Cartesian coordinate

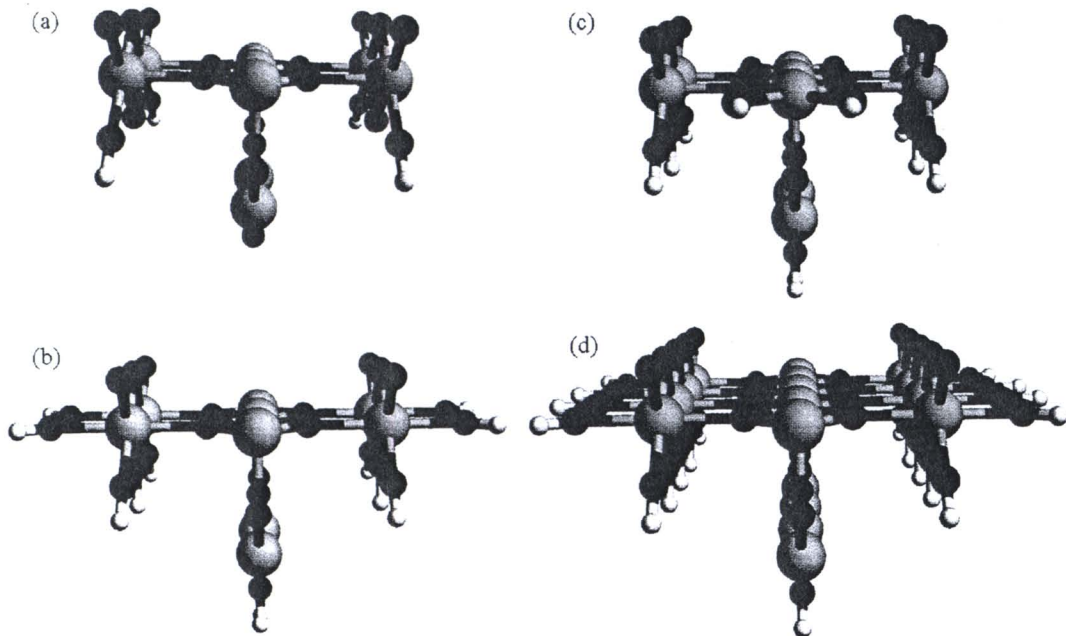
การแสดงผลการทดลองทั้งหมดให้เป็นรูปภาพทำโดยโปรแกรม Argus Lab [25]

3.2 แบบจำลอง

3.2.1 การทดสอบโครงสร้างของ TiO_2

โครงสร้างของ TiO_2 ที่ใช้การทดลองนี้ทั้งหมดจำลองขึ้นโดยใช้การจำลองโครงสร้างแบบ Cluster approach ร่วมกับการใช้อะตอมของไฮโดรเจนเพื่อสมดุลประจุ การออกแบบแบบจำลองตั้งอยู่บนพื้นฐานที่ได้รับการเสนอแนะไว้ในเอกสารอ้างอิง [26] ซึ่งข้อสรุปโดยย่อคือ อะตอมของไฮเทเนียมที่อยู่ตรงกลาง (Ti_c) จะต้องมีจำนวน coordinate ครบและต้องมีอะตอมของออกซิเจนที่ตำแหน่ง bridging row ด้วย อายุ่ไร์ก์ตามในขั้นต้นของการทดลองจะต้องทดสอบผลของขนาดของแบบจำลองก่อน เพื่อหาขนาดของแบบจำลองที่เหมาะสมกับเวลาและทรัพยากร โดยในขั้นต้นนี้มีโครงสร้างของ TiO_2 ที่นำมาทดสอบ 4 ลักษณะ ดังนี้

1. โครงสร้างแบบ $\text{Ti}_9\text{O}_{20}\text{H}_4$ (surface 1) ดังแสดงในรูปที่ 3.2(a) ซึ่งเป็นโครงสร้างที่เล็กที่สุดที่นำมาทดสอบ
2. โครงสร้างแบบ $\text{Ti}_9\text{O}_{24}\text{H}_{12}$ (Surface 2) ดังแสดงในรูปที่ 3.2(b) ซึ่งมีการเพิ่มออกซิเจนอะตอมจำนวน 4 อะตอมในตำแหน่ง Basel plane เข้าไปเพื่อทำให้จำนวน coordinate ของไฮเทเนียมอะตอมทั้ง 3 อะตอมที่พื้นผิวทุกอะตอมครบ 5
3. โครงสร้างแบบ $\text{Ti}_9\text{O}_{24}\text{H}_{12}$ (Surface 3) ดังแสดงในรูปที่ 3.2(c) แบบจำลองนี้มีสูตรโครงสร้างเหมือนกับ surface 2 แต่มีการเพิ่มออกซิเจนอะตอมที่ไฮเทเนียมอะตอมนอกสุดเพื่อให้ครบ 6 coordinate
4. โครงสร้างแบบ $\text{Ti}_{17}\text{O}_{44}\text{H}_{20}$ (Surface 4) ดังแสดงในรูปที่ 3.2(d) แบบจำลองนี้เป็นแบบจำลองที่ใหญ่ที่สุด โดยการขยายจำนวนไฮเทเนียมอะตอมที่แนวกลางจาก 3 เป็น 5 อะตอม



รูปที่ 3.2 แบบจำลองของพื้นผิวที่ใช้ในการคำนวณ (a) surface 1 (b) surface 2 (c) surface 3 และ (d) surface 4; ทรงกลมขนาดใหญ่สีขาว ทรงกลมขนาดเล็กสีเทาและสีขาวขนาดเล็กแทนอะตอมของ ไทเทเนียม ออกซิเจน และ ไฮโดรเจน ตามลำดับ

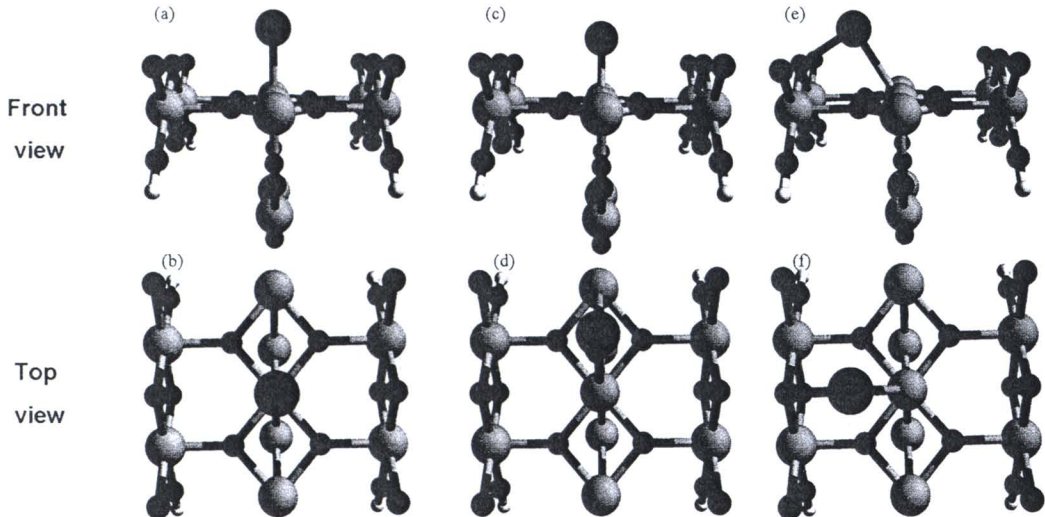
การหาแบบจำลองที่เหมาะสมสำหรับการทำโดยการเบริญเทียนค่าพลังงานคุดชันของพลาทินัม อะตอมที่ตำแหน่ง on-top บน Ti_c โดยการตั้งสมมติฐานว่าโครงสร้างที่ 4 หรือโครงสร้างที่ใหญ่ที่สุดให้ ค่าใกล้เคียงความเป็นจริงมากที่สุด เนื่องจากเป็นโครงสร้างที่จำลองสภาพแวดล้อมของพื้นผิวได้ดีที่สุด ในบรรดาโครงสร้างทั้งหมด การคุดชันของพลาทินัมบนตำแหน่ง on-top ถูกเลือกมาใช้ในการทดสอบ เนื่องจากเป็นตำแหน่งที่มีความสมมาตร (symmetry) สูงที่สุด

3.2.2 ตำแหน่งการคุดชันของพลาทินัมอะตอมบนพื้นผิว TiO_2

การทดลองในขั้นนี้เป็นการหาตำแหน่งคุดชันที่เหมาะสมที่สุด (Preferential adsorption site) ของพลาทินัมอะตอมบนพื้นผิว TiO_2 การทดสอบทำโดยการหาโครงสร้างที่เสถียรที่สุด (optimization) ของตำแหน่งการคุดชันต่างๆ บนพื้นผิวของ TiO_2 ที่เหมาะสมจากขั้นแรก

ตำแหน่งการคุดชันที่เหมาะสมที่สุดของพลาทินัมบน TiO_2 ที่มีการทดสอบในการทดลองนี้มี 3 ตำแหน่งคือรูปแบบ on-top รูปแบบ Ti hollow และรูปแบบ O hollow ดังแสดงในรูปที่ 3.3(a) ซึ่งทั้ง 3 รูปแบบนี้เป็นรูปแบบที่น่าจะเป็นไปได้ตามเอกสารอ้างอิง [27 และ 28] สำหรับตำแหน่ง on-top อะตอม ของ พลาทินัมดังแสดงในรูปที่ 3.3 (a) และ (b) จะถูกวางไว้เหนืออะตอม Ti_c และอยู่ต่างกลางของ อะตอม bridging oxygen ทั้ง 4 ตัว การเคลื่อนที่ของอะตอมพลาทินัมจะถูกจำกัดไว้เพียงแค่ให้สามารถ เคลื่อนที่ขึ้ลงเหนือ Ti_c ได้เท่านั้น





รูปที่ 3.3 ตำแหน่งการคุดซับของพลาทินัมอะตอมบน TiO_2 ที่เป็นไปได้ทั้ง 3 รูปแบบ (a) และ (b) on-top (c) และ (d) Ti hollow site (e) และ (f) O hollow site ทรงกลมสีเทาขนาดใหญ่แทนอะตอมพลาทินัม

สำหรับการคุดซับที่ตำแหน่ง Ti hollow site อะตอมของพลาทินัมจะอยู่จุดกึ่งกลางระหว่างไทดิเนียมอะตอม 2 อะตอม ดังแสดงในรูปที่ 3.3 (c) และ (d) แบบจำลองนี้เขียนขึ้นโดยการวางแผนอะตอมจำลอง (dummy atom) หนึ่งอจุดกึ่งกลางของไทดิเนียมอะตอม 2 อะตอม จากนั้นวางพลาทินัมอะตอมหนึ่งอะตอมจำลองนั้น การหาโครงสร้างที่เสถียรที่สุดของโครงสร้างนี้โดยหาระยะห่างที่เหมาะสมระหว่างพลาทินัมอะตอมและอะตอมจำลอง

การหาตำแหน่งคุดซับบน O hollow ทำโดยการวางแผนอะตอมของพลาทินัมหนึ่ง Ti_c แต่จะเป็นไปหาก bridging oxygen อะตอม โดยอะตอมพลาทินัมจะสามารถเคลื่อนที่ได้ใน 2 มิติและเคลื่อนที่ขึ้น-ลง และเคลื่อนที่บนเข้าหากันหรือออกจากอะตอม bridging oxygen

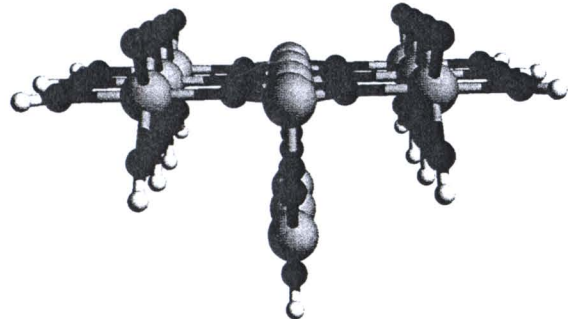
รูปแบบการคุดซับที่เสถียรที่สุดซึ่งสามารถหาได้จากขั้นตอนนี้จะถูกใช้เพื่อเป็นพื้นฐานในการจำลองโครงสร้างของขั้นตอนต่อไป การคำนวณพลังงานคุดซับในขั้นตอนนี้จะกระทำโดยใช้ 3 วิธีคือ HF (Hartree-Fock) Many-body perturbation theory order 2 (MP2) และ DFT

3.2.3 การคุดซับของพลาทินัมคลัสเตอร์ (Pt Cluster) บนพื้นผิว TiO_2

วัตถุประสงค์ของการทดลองในขั้นตอนนี้คือศึกษาปฏิกิริยาพันธ์ระหว่างพลาทินัมคลัสเตอร์และพื้นผิว TiO_2 เนื่องจากพลาทินัมคลัสเตอร์เกิดขึ้นจากหน่วยที่ซ้ำๆ กันของชั้นพลาทินัม (Pt layer) ดังนั้นโครงสร้างของพลาทินัมคลัสเตอร์จึงถูกสร้างขึ้นโดยใช้สมมุติฐาน 2 ข้อ โดยข้อแรกคือพลาทินัมอะตอมที่อยู่บริเวณตำแหน่งที่เสถียรที่สุดจะทำหน้าที่เป็นจุดเริ่มการก่อตัว (Nucleation site) ของพ

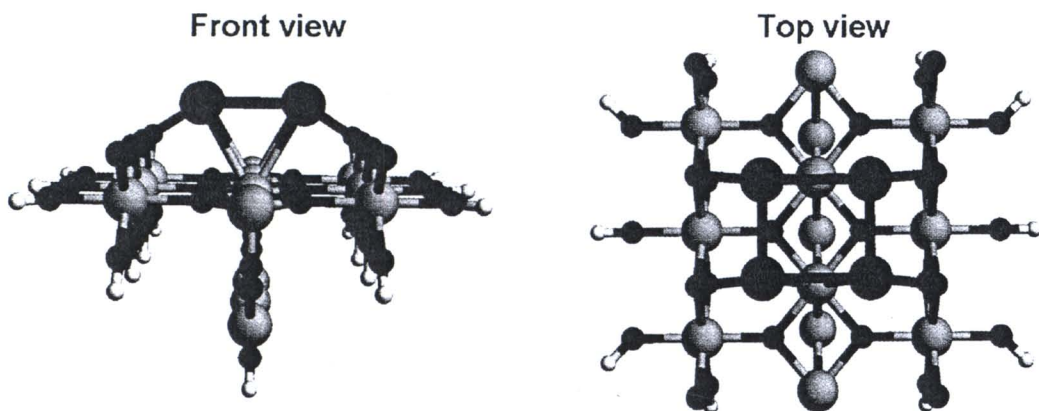
ถ้าพลาทินัมคลัสเตอร์ และข้อที่ 2 คือเนื่องจากอนุภาคพลาทินัมบนพื้นผิว TiO_2 มีการจัดเรียงอะตอมในแบบ (111) ดังนั้นการเรียงตัวของพลาทินัมที่ชั้นแรกๆ ก็น่าจะมีการเรียงตัวในลักษณะนี้ด้วย

เนื่องจากขนาดที่ใหญ่ขึ้นของพลาทินัม ดังนั้นโครงสร้างของพื้นผิว TiO_2 จึงต้องถูกขยายตามไปด้วย ดังแสดงในรูปที่ 3.4



รูปที่ 3.4 พื้นผิวของ TiO_2 ที่ใช้ในการคุณซับพลาทินัมคลัสเตอร์

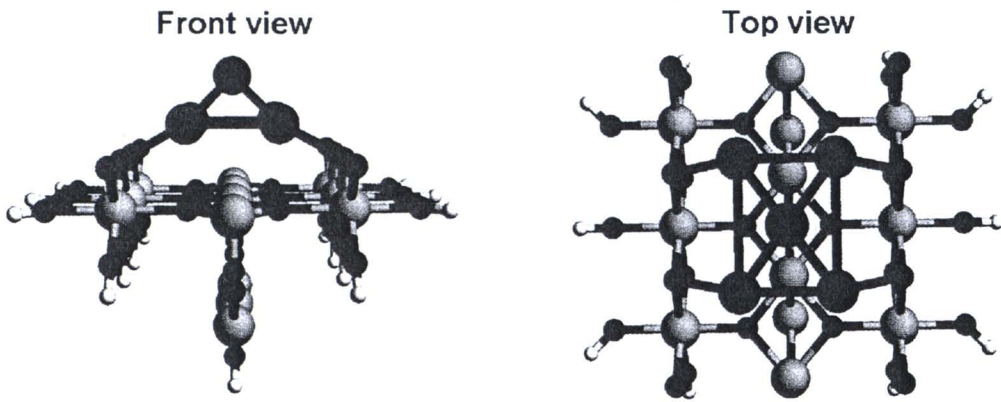
โครงสร้างแรกของพลาทินัมคลัสเตอร์ที่จำลองขึ้นคือโครงสร้างของพลาทินัมที่มี 4 อะตอม (Pt_4) ดังแสดงในรูปที่ 3.5 แบบจำลองแรกนี้ประกอบไปด้วยพลาทินัมจำนวน 4 อะตอมวางอยู่ที่ bridge site บนพื้นผิว TiO_2 สำหรับการ optimization อะตอมของพลาทินัมจะสามารถเคลื่อนที่ได้ในทุกทิศทาง แต่เพื่อลด degree of freedom ของระบบลง ดังนั้นจึงต้องบังคับให้พลาทินัมแต่ละอะตอมเคลื่อนที่ในลักษณะเหมือนกันในกระจากของกันและกัน (mirror image)



รูปที่ 3.5 แบบจำลองการคุณซับของ Pt_4 บน TiO_2

แบบจำลองที่ 2 ที่สร้างขึ้นคือโครงสร้างที่ประกอบด้วยพลาทินัมจำนวน 5 อะตอม (Pt_5) ดังแสดงในรูปที่ 3.6 แบบจำลองนี้ขยายขึ้นมาจาก Pt_4 โดยการเพิ่มอะตอมของพลาทินัมขึ้น 1 อะตอมที่จุดกึ่งกลางเหนือระนาบของคลัสเตอร์เดิมกลายเป็นโครงสร้างแบบปริมาמידฐานสี่เหลี่ยม (Square pyramidal) แบบจำลองนี้ใช้เพื่อศึกษาความเป็นไปได้ของการเกิดเป็นโครงสร้างแบบ (111) โดย

โครงสร้างแบบ (111) ที่สมบูรณ์จะเกิดขึ้นในการณ์ที่พลาทินัมอะตอมที่ 5 ที่เพิ่มเข้าไปอยู่ในระบบเดียวกับอีก 4 อะตอมที่เหลือสำหรับการ optimization พลาทินัมอะตอม 4 อะตอมที่อยู่ที่ฐานจะสามารถเคลื่อนที่ได้ในลักษณะเดียวกับใน Pt₄ ส่วนพลาทินัมอะตอมที่ 5 ที่เพิ่มเข้าไปนั้นจะถูกบังคับให้สามารถเคลื่อนที่ขึ้นลงได้เท่านั้นเพื่อรักษาสมมาตรของแบบจำลองให้เป็น C_{2v} ซึ่งตำแหน่งของพลาทินัมอะตอมนี้จะถูกวางแผนในลักษณะเดียวกับบนตำแหน่ง Ti hollow และมีระยะห่างมากกว่า



รูปที่ 3.6 แบบจำลองการคุณชั้บของ Pt₅ บน TiO₂

แรงปฏิสัมพันธ์ทั้งหมดของพลาทินัมคลัสเตอร์ทั้งหมดคือค่าพลังงานที่ทำให้เกิดความเสถียร (Net stabilization energy) ซึ่งค่าพลังงานนี้คือค่าพลังงานรวมของพลังงานยึดเกาะ (Adhesion energy) ที่กระทำต่อพลาทินัมอะตอมในพลาทินัมคลัสเตอร์ ค่า net stabilization energy ของพลาทินัมคลัสเตอร์ ($E_{Pt_n}^{sta}$) เป็นค่าที่คำนวณมาจากพลังงาน 3 กลุ่มคือ ผลรวมของปฏิสัมพันธ์ระหว่างพลาทินัมอะตอมด้วยกัน (E^{Pt-Pt}) ค่าพลังงานปฏิสัมพันธ์ระหว่างพลาทินัมและไทดิเมเนียม dioxide (E^{Pt-TiO_2}) และค่าพลังงานการผ่อนคลาย (relaxation energy, E^{rel}) ซึ่งเกี่ยวเนื่องกันตามความสัมพันธ์

$$E_{Pt_n}^{sta} = E^{Pt-Pt} + E^{Pt_n-TiO_2} - E^{rel} \quad (3.2)$$

เทอม E^{Pt-Pt} กือค่าพลังงานดึงดูดทั้งหมดภายในพลาทินัมคลัสเตอร์

$$E^{Pt-Pt} = \sum E_{Pt_2} - 2E_{Pt} \quad (3.3)$$

เมื่อ E_{Pt_2} กือค่าพลังงานยึดเกาะระหว่างพลาทินัมอะตอม 2 อะตอม ค่าปฏิสัมพันธ์ E^{Pt-TiO_2} แสดงถึงพลังงานดึงดูดระหว่างพลาทินัมคลัสเตอร์และไทดิเมเนียม dioxide ได้อย่างไร

$$E^{Pt-TiO_2} = E_{Pt/TiO_2} - E_{TiO_2} - E_{Pt_n} \quad (3.4)$$

เมื่อ E_{Pt/TiO_2} คือค่าพลังงานของแบบจำลองที่มีไทเทเนียมไดออกไซด์และพลาทินัมคลัสเตอร์ E_{TiO_2} คือค่าพลังงานของแบบจำลองที่มีเฉพาะ ไทเทเนียมไดออกไซด์ และ E_{Pt_n} คือค่าพลังงานของแบบจำลองของพลาทินัมคลัสเตอร์ที่ไม่มีการผ่อนคลาย (unrelaxed)

ค่าพลังงานการผ่อนคลายคือค่าความต่างระหว่างพลังงานที่เกิดขึ้นเนื่องจากการบิดเบี้ยวไปของโครงสร้างของพลาทินัมคลัสเตอร์ซึ่งถูกเหนี่ยวนำโดยการคดดูบบัน

สำหรับพลาทินัมคลัสเตอร์อิสระหรือพลาทินัมคลัสเตอร์ที่ไม่ได้คดดูบบัน ไทเทเนียมไดออกไซด์จะถูกสร้างขึ้นด้วยโครงสร้างที่เหมือนกับโครงสร้างของบันบน ไทเทเนียมไดออกไซด์ ดังนั้น การเคลื่อนที่ของ Pt_4 คลัสเตอร์อิสระก็จะสามารถเคลื่อนที่ได้ในลักษณะที่เป็นภาพสะท้อนของอะตอมที่เหลือ และเนื่องจากโครงสร้างของ Pt_4 บน TiO_2 เป็นโครงสร้างที่ถูกทำให้บิดเบี้ยวไปดังนั้น โครงสร้างของ Pt_4 อิสระจึงมี 2 โครงสร้างที่ต้องนำมาเปรียบเทียบกันซึ่งก็คือโครงสร้างแบบ square plana และโครงสร้างแบบที่ถูกทำให้บิดเบี้ยวไป สำหรับ Pt_4 คลัสเตอร์ก็จะกระทำการทำเช่นเดียวกัน โดยใช้คลัสเตอร์แบบปรามิคฐานสี่เหลี่ยม

3.3.4 การคดดูบบันของการบิดเบี้ยวของพลาทินัมและพลาทินัมน้ำเงินไดออกไซด์

การทดลองในขั้นนี้แบ่งวัตถุประสงค์ออกเป็น 2 ข้อย่อย ได้แก่ การศึกษาผลของ ไทเทเนียมไดออกไซด์ต่อการคดดูบบันของการบิดเบี้ยวของพลาทินัมและผลของการบิดเบี้ยวของพลาทินัมน้ำเงินไดออกไซด์

วัตถุประสงค์แรกเป็นการพิจารณาถึงผลของการต้านทานความเป็นพิษต่อการบิดเบี้ยนของพลาทินัมนื้องจากผลของ electronic และ geometric effect ไทเทเนียมไดออกไซด์ซึ่งเกิดขึ้นจาก ดังแสดงในเอกสารอ้างอิง [1 และ 2] ข้อพิจารณาหลักในขั้นนี้คือค่าพลังงานปฏิสัมพันธ์ระหว่าง คาร์บอนอนอนอกไชด์กับพลาทินัมน้ำเงิน ($CO-Pt/TiO_2$) ส่วนวัตถุประสงค์ข้อสองจะมุ่งไปที่ การอธิบายผลของ surface wetting effect ของการคดดูบบันของพลาทินัมน้ำเงินไดออกไซด์โดยวิธี chemical vapour deposition (CVD) ดังปรากฏในเอกสารอ้างอิง [29] ซึ่งการวิเคราะห์ในประเด็นนี้จะมุ่งไปที่การเปรียบเทียบระหว่างปฏิสัมพันธ์ระหว่างพลาทินัมกับ ไทเทเนียมไดออกไซด์ในกรณีที่มีและไม่มีคาร์บอนอนอนอกไชด์ นอกจากนี้ เพื่อหาตำแหน่งการคดดูบบันหลักของการบิดเบี้ยนของพลาทินัมน้ำเงินไดออกไซด์ในระบบดังกล่าว จึงต้องมีการเปรียบเทียบกับการคดดูบบันของการบิดเบี้ยนของพลาทินัมน้ำเงินไดออกไซด์ที่มีพิเศษ

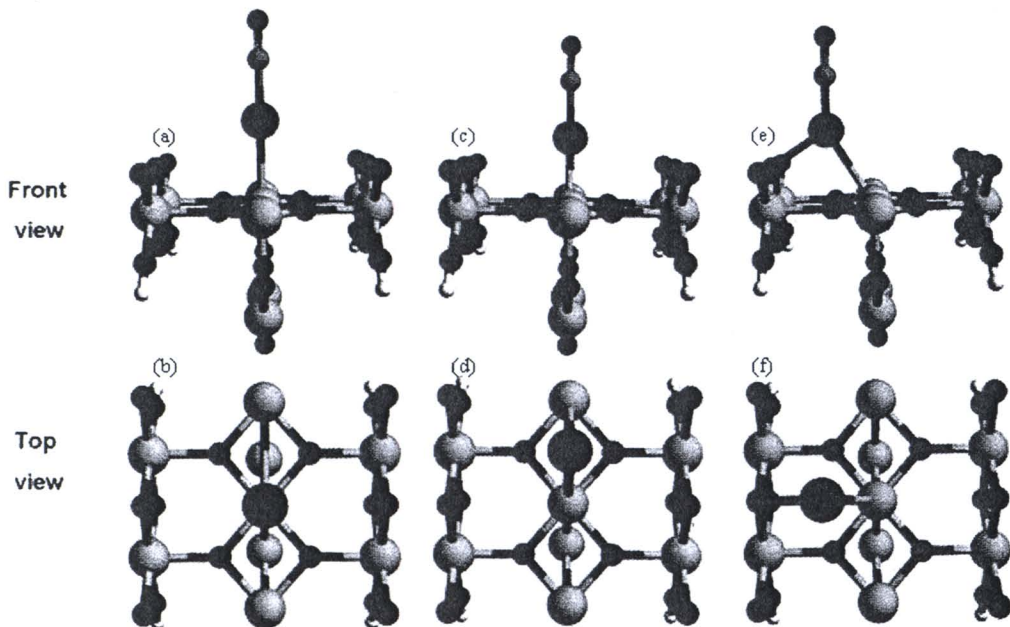


โดยออกใช้ค์ด้วย แต่เนื่องจากผลการวิจัยบางชิ้น [30 และ 31] ระบุว่าการคุณภาพของคาร์บอนมอนอกไซด์บนพื้นผิวไทเทเนียมได้ออกใช้ค์เกิดขึ้นบน Ti_2 เป็นหลัก ดังนั้นจึงได้ทำการคำนวณเปรียบเทียบ แต่ละพารามิเตอร์คุณภาพของคาร์บอนมอนอกไซด์บนตำแหน่งที่ต่างกัน

ในทั้ง 2 วัสดุประสังค์ การคุณภาพของคาร์บอนมอนอกไซด์จะกระทำใน 3 กรณีคือการคุณภาพของคาร์บอนมอนอกไซด์บนพลาทินัมหนืดพลาทินัมคลัสเตอร์อิสระ การคุณภาพของคาร์บอนมอนอกไซด์บนพลาทินัมที่ถูกบังคับ โครงสร้างมาจากพื้นผิวไทเทเนียม โดยออกใช้ค์ และการคุณภาพบนโครงสร้างพลาทินัมบนไทเทเนียม โดยออกใช้ค์ ผลที่ได้จากการศึกษาทั้งหมดนี้จะถูกนำมาเปรียบเทียบ กัน เพื่อหาผลที่เกิดขึ้นจากความเค้น (Strain) หรือ electronic effect ที่เกิดขึ้นเนื่องจาก TiO_2

การคุณภาพของคาร์บอนมอนอกไซด์บนพลาทินัมหรือพลาทินัมคลัสเตอร์จะใช้เป็นกรณีฐาน (base case) เพื่อหาผลจาก TiO_2 การคำนวณในกรณีนี้จะกระทำโดยไม่มีการบังคับการเคลื่อนไหวของอะตอม (unconstraint) ผลที่ได้จากการคำนวณนี้จะปราศจากผลของ strain และ electronic effect ส่วนในกรณีของโครงสร้างของพลาทินัมคลัสเตอร์ที่ถูกบังคับ โครงสร้างให้เหมือนกับบน TiO_2 จะมีผลของความเค้นเข้ามาเกี่ยวข้องแต่ไม่มีผลของอิเล็กตรอนจากโลหะออกใช้ค์ และผลที่ได้จากการแบบจำลองที่มี TiO_2 ค้ำยึดจะค่าพลังงานที่ได้รับผลจากทั้งความเค้นและการถ่ายเทอิเล็กตรอน

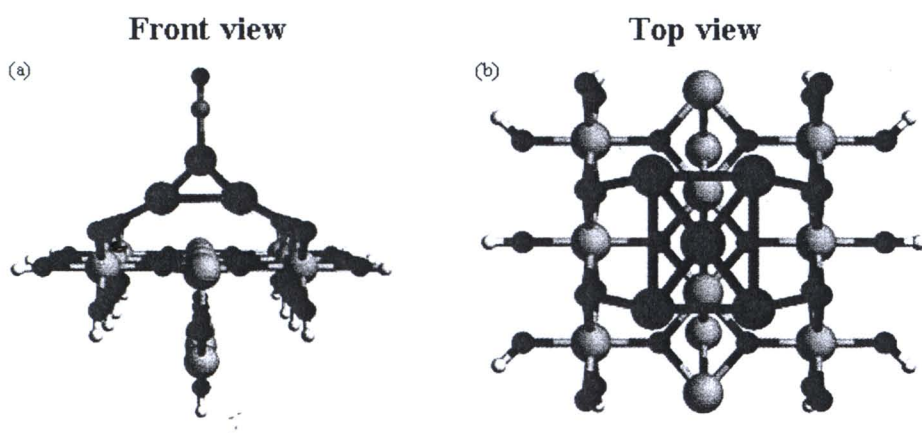
ในการทดลองการคุณภาพของคาร์บอนมอนอกไซด์บนพลาทินัมอะตอมบนไทเทเนียมได้ออกใช้ค์ อะตอมของคาร์บอนมอนอกไซด์และพลาทินัมจะสามารถเคลื่อนที่ได้ตามทิศทางที่กำหนดไว้แต่โครงสร้างของไทเทเนียมได้ออกใช้ค์จะถูกบังคับให้อยู่นิ่ง ตำแหน่งเริ่มต้นของการบันดาลนอกไซด์จะอยู่ที่ตำแหน่ง on-top ของพลาทินัมอะตอม โดยให้ออกซิเจนอะตอมหันออกไปจากพื้นผิวของไทเทเนียม โดยออกใช้ค์ ซึ่งการบันดาลนอกไซด์ก็จะลอกขยูໆหนีอพลาทินัมและตั้งฉากกับพื้นผิว TiO_2 แบบจำลองการคุณภาพของคาร์บอนมอนอกไซด์บนพลาทินัมบน TiO_2 เป็นดังแสดงในรูปที่ 3.7



รูปที่ 3.7 การคุณซับบนตำแหน่ง on-top ของคาร์บอนมอนอกไซด์บนพลาทินัมอะตอมบน TiO_2 (a) และ (b) ตำแหน่ง on-top (c) และ (d) ตำแหน่ง Ti hollow (e) และ (f) ตำแหน่ง O hollow

ในการศึกษาการคุณซับของคาร์บอนบนพลาทินัมคลัสเตอร์บน TiO_2 จะมีเพียงการบันดาลนอกจากไม่สามารถเคลื่อนที่ได้เพื่อให้ระดับ degree of freedom ของระบบอยู่ในระดับที่ยอมรับได้ ดังนั้นผลของการบันดาลนอกจากต่อค่า relaxation ของพลาทินัมคลัสเตอร์จึงทำได้เพียงคร่าวๆ จากการวิเคราะห์การคุณซับของคาร์บอนมอนอกไซด์บนพลาทินัมคลัสเตอร์อิสระ

ตำแหน่งของ CO บนแบบจำลองการคุณซับบน Pt_5/TiO_2 จะอยู่บนตำแหน่ง on-top ของพลาทินัมอะตอมที่ 5 ซึ่งอยู่ด้านบน ซึ่งทำให้แบบจำลองมีสมมาตรแบบ C_{2v} ดังแสดงในรูปที่ 3.8 ตำแหน่งของ Pt/TiO_2 จะถูกบังคับให้คงที่ตามตำแหน่งที่ได้มาจากการทดลองในหัวข้อ 3.2.3 ในขณะที่การบันดาลนอกจากจะสามารถเคลื่อนที่ในลักษณะขึ้น-ลงเท่านั้น



รูปที่ 3.8 แบบจำลองการคุณซับของ CO บน Pt/TiO_2